

蓝黄红菇的化学成分

高锦明², 董泽军¹, 刘吉开^{1*}

(¹ 中国科学院昆明植物研究所植物化学开放实验室, 云南 昆明 650204)

(² 西北农林科技大学林学院, 陕西 杨陵 712100)

摘要: 从野生真菌蓝黄红菇 *Russula cyanoxantha* Schaeff. Fr. 子实体中分得 6 个化合物, 经光谱法分别鉴定为 4 个麦角甾醇: $5\alpha, 8\alpha$ -epidioxy-(22E, 24R)-ergosta-6, 22-dien-3 β -ol **1**, $5\alpha, 8\alpha$ -epidioxy-(24S)-ergosta-6-en-3 β -ol **2** (24S)-ergosta-7-ene-3 $\beta, 5\alpha, 6\beta$ -triol **3** (22E, 24R)-ergosta-7, 22-dien-3 $\beta, 5\alpha, 6\beta$ -triol **4** (cervisterol) 以及 D-阿洛醇 (D-allitol) 和硬脂酸 (stearic acid)。其中化合物 **1**、**2** 为麦角甾醇过氧化物。**3** 和 D-阿洛醇为首次发现存在于高等真菌中。

关键词: 蓝黄红菇; 子实体; 红菇科; 担子菌纲; 麦角甾醇; 过氧化物

中图分类号: Q 946 文献标识码: A 文章编号: 0253-2700(2000)01-0085-05

The Constituents of the Basidiomycetes *Russula cyanoxantha*

GAO Jin-Ming², DONG Ze-Jun¹, LIU Ji-Kai¹

(¹ Laboratory of Phytochemistry, Kunming Institute of Botany, The Chinese Academy of Sciences, Kunming 650204)

(² Faculty of Forestry College, Northwestern University of Agro-Forestry Science and Technology, Yangling, Shaanxi 712100)

Abstract: Four known ergosterols, $5\alpha, 8\alpha$ -epidioxy-(22E, 24R)-ergosta-6, 22-dien-3 β -ol **1**, $5\alpha, 8\alpha$ -epidioxy-(24S)-ergosta-6-en-3 β -ol **2**, and (24S)-ergosta-7-ene-3 $\beta, 5\alpha, 6\alpha$ -triol **3**, (22E, 24R)-ergosta-7, 22-dien-3 $\beta, 5\alpha, 6\alpha$ -triol **4** and D-allitol and stearic acid have been isolated from the fruiting bodies of *Russula cyanoxantha*, their structures were determined by means of spectral methods. It is the first time to report the isolation of compound **3** and D-allitol from higher fungi.

Key words: *Russula cyanoxantha*; Fruiting bodies; Russulaceae; Basidiomycetes; Ergosterols, Peroxides

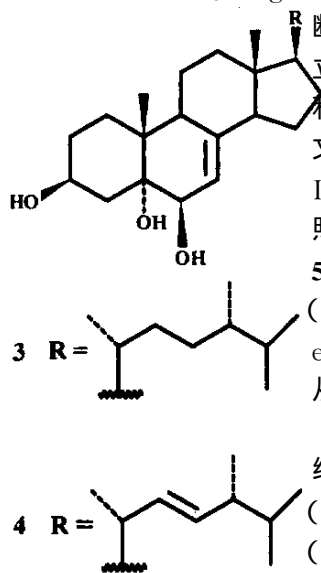
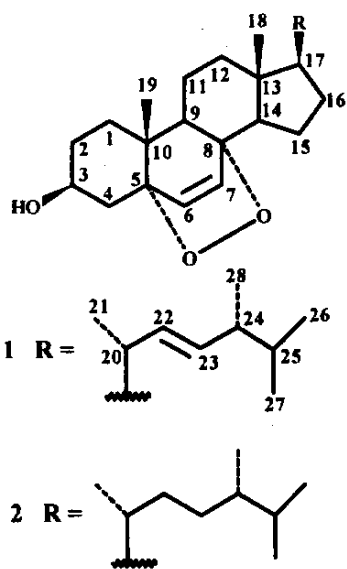
蓝黄红菇 *Russula cyanoxantha* Schaeff. Fr. 属担子菌纲红菇科红菇属食用菌, 分布于我国大部分地区, 其子实体提取物具有抗癌作用, 对小白鼠肉瘤 180 和艾氏癌的抑制率分别为 70% 和 60% (卯晓岚, 1998)。有关其化学成分的研究至今未见报道。为了寻找其抗癌有效成分, 从其子实体中首次分离鉴定了 6 个化合物, 4 个麦角甾醇和 D-阿洛醇以及硬脂酸。据文献报道, 化合物 **1** 体外对 L-1210 细胞株有极强的抗癌活性 ($LD_{50} = 3.5 \mu g/cm^3$) (Matsueda 等, 1985) 和抑制 MCF-7 人乳腺癌和 Walker 256 肉瘤细胞株生长 (Kahlos 等, 1989), 并对人体肝癌 PLC/PRF/5 和 KB 细胞表现抑制活性 (Lin 等,

* 通讯联系人
收稿日期: 1999-06-01, 1999-06-28 接受发表

1991), 浓度为 0.25 mmol/L 时能选择性地增强亚油酸 (≤ 10 mmol/L) 对 DNA 聚合酶 β 活性的抑制作用 (Mizushima 等, 1998); 此外, 还具有抗炎 (Yasukawa 等, 1994)、抗补体 (Casteel, 1999)、免疫抑制 (Fujimoto 等, 1994) 和促进血小板凝聚 (Lu 等, 1985) 以及抗流感病毒 (Casteel, 1999) 等作用。D-阿洛醇在自然界存在较罕见, 曾于 1959 年从植物中发现 (吴东儒, 1987), 高等真菌中系首次报道。蓝黄红菇抗癌成分究竟是化合物 **1** 还是其他活性成分, 尚在研究之中。

化合物 **1** 为无色针晶, IR 谱显示羟基 ($3525, 3309\text{ cm}^{-1}$) 和双键 (1653 cm^{-1}) 吸收带。 ^{13}C NMR (DEPT) 谱给出 28 个碳信号, 分别为 6 个甲基, 7 个亚甲基, 11 个次甲基 (包括 4 个双键碳 δ 135.4, 130.8; 135.2, 132.4 和 1 个接氧碳 66.5), 4 个季碳 (含有 2 个接氧碳 δ 82.1, 79.4), 结合 EIMS 给出的分子量 428, 分子式应为 $\text{C}_{28}\text{H}_{44}\text{O}_3$ 。EIMS 特征碎片峰 m/z : 410 $[\text{M} - \text{H}_2\text{O}]^+$, 396 $[\text{M} - \text{O}_2]^+$, 303 $[\text{M} - \text{C}_9\text{H}_{17}]^+$, 251 $[\text{M} - \text{H}_2\text{O} - \text{O}_2 - \text{C}_9\text{H}_{17} - \text{H}_2]^+$, 示有 1 个羟基、1 个过氧桥和 1 个单烯侧链 C_9H_{17} , 表明 **1** 属麦角甾醇过氧化物 (Ma 等, 1994)。 ^1H NMR 谱在 δ 5.11 ($J=8.0, 15.3\text{ Hz}$) 和 5.19 ($J=7.5, 15.1\text{ Hz}$) 处两组双二重峰及 IR 中 $985, 970\text{ cm}^{-1}$ 中强峰, 说明 C-22 立体构型为 E 式; C-28 甲基的 $\delta 17.6 \pm 0.1$ 是诊断不饱和侧链甾醇 24R 构型的特征值, 且甾醇 ABC 环系的结构改变对其侧链碳 δ 几乎不产生影响 (Wright 等, 1978), 化合物 **1** 的 C-28 $\delta 17.6$ 在此特征范围内, 则 24 立体构型应为 R。通过上述特征分析和与文献 (Ma 等, 1994; Ishizuka 等, 1997) 比较, **1** 的结构推定为 $5\alpha, 8\alpha$ -epidioxy-(22E, 24R)-ergosta-6, 22-dien-3 β -ol。

化合物 **2** 为无色针晶, 根据 ^{13}C NMR 和 MS 数据, **2** 分子式应为 $\text{C}_{28}\text{H}_{46}\text{O}_3$, 其组成比 **1** 多 2 个氢, 即少 1 个双键。EIMS 特征碎片峰 m/z : 412 $[\text{M} - \text{H}_2\text{O}]^+$, 398 $[\text{M} - \text{O}_2]^+$ (基峰), 379 $[\text{M} - \text{H}_2\text{O} - \text{O}_2 - \text{H}]^+$, 339 $[\text{M} - \text{O}_2 - \text{C}_3\text{H}_6\text{OH}]^+$, 365 $[\text{M} - \text{H}_2\text{O} - \text{O}_2 - \text{CH}_3]^+$, 271 $[\text{M} - \text{O}_2 - \text{C}_9\text{H}_{19}]^+$, 251 $[\text{M} - \text{H}_2\text{O} - \text{O}_2 - \text{C}_9\text{H}_{19} - \text{H}_2]^+$, 说明 **2** 为麦角甾醇过氧化物 (Ma 等, 1994), 且有 1 个饱和 C_9 侧链。对饱和侧链甾醇而言, 24S 异构体的 C-26 和 C-27 (差值为 2.8, 而 24R (差值仅为 1.8 左右 (Wright 等, 1978)), 据此可推



断化合物 **2** 的 C-24 立体构型应为 S。将 ^1H 和 ^{13}C NMR 谱数据与文献 (Ma 等, 1994; Ishizuka 等, 1997) 对照, 确证 **2** 的结构为 $5\alpha, 8\alpha$ -epidioxy-(24S)-ergosta-6-en-3 β -ol。这是首次从红菇科真菌中获得。

化合物 **3** 为无色结晶, IR 谱示有羟基 (3441 cm^{-1}) 和双键 (1657 cm^{-1}) 吸收带。

^{13}C NMR (DEPT) 谱给出 28 个碳信号, 其中 6 个甲基, 9 个亚甲基, 9 个次甲基 (包括 1 个双键碳 δ 120.4, 2 个接氧碳 67.6, 74.3), 4 个季碳 (包括 1 个双键碳 (141.6, 1 个接氧碳 76.1), 负离子 FAB-MS 显示分子离子相关峰 m/z 585 ($M+153$), **3** 的分子式应为 $\text{C}_{28}\text{H}_{48}\text{O}_3$, 提示为多羟基甾醇。EIMS 在 m/z 414 [$M-\text{H}_2\text{O}$] $^+$ (基峰), 399 [$M-\text{H}_2\text{O}-\text{CH}_3$] $^+$, 396 [$M-2\text{H}_2\text{O}$] $^+$, 381 [$M-2\text{H}_2\text{O}-\text{CH}_3$] $^+$, 287 [$M-\text{H}_2\text{O}-\text{C}_9\text{H}_{19}$ (边链)] $^+$, 269 [$M-2\text{H}_2\text{O}-\text{C}_9\text{H}_{19}$] $^+$, 251 [$M-3\text{H}_2\text{O}-\text{C}_9\text{H}_{19}$] $^+$ 处特征碎片峰, 表明化合物 **3** 分子中含有 3 个羟基和 1 个饱和 C_9 边链。 ^1H NMR 谱显示 2 个接氧次甲基质子 δ 4.83 (1H, H-3), 4.33 (1H, H-6) 和 1 个烯质子 δ 5.74 (1H, H-7) 信号。同样, **3** 的 C-24 构型应为 S。通过上述特征分析和与文献 (Iorizzi 等, 1988; Madaio 等, 1989) 比较, **3** 的结构被推定为 (24S)-ergosta-7-ene-3 β , 5 α , 6 β -triol。化合物 **3** 最早于扇贝中发现 (Iorizzi 等, 1988), 当时并未报道碳谱数据; 此后又在海绵中发现 (Madaio 等, 1989), 是以 24 位差向异构体的混合物报道的。这是首次被发现存在于高等真菌中。

实验部分

蓝黄红菇 *Russula cyanoxantha* Schaeff. Fr. 新鲜子实体采于云南哀牢山, 标本由昆明植物研究所分类室刘培贵教授鉴定, 熔点用四川大学科仪厂生产的 XRC-1 型显微熔点仪测定, 温度计未校正。旋光由 JASCO-20 仪测定。IR 由 Bio-Rad FTS 仪测定。UV 由 UV210A 仪测定。NMR 由 Bruker AM-400 和 Bruker DRX-500 仪测定。MS 由 VG Auto Spec-3000 仪测定。薄层层析硅胶和柱层析硅胶均为青岛海洋化工厂产品。

将新鲜蓝黄红菇子实体用工业酒精提取, 残渣干后 (300 g) 续用工业酒精提取 3 次, 再用 $\text{CHCl}_3/\text{MeOH}$ (1:1) 提取 3 次, 将所有提取液减压浓缩合并, 加水悬浮, 用 CHCl_3 萃取得膏状物 17g 和水溶液部分。水溶液部分浓缩后析出沉淀, 过滤, 沉淀经乙醇-水反复重结晶, 得化合物 D-阿洛醇; 膏状物经硅胶柱层析, 石油醚-丙酮梯度洗脱, 9:1 洗脱部分经正己烷重结晶分别得到 **1** 和硬脂酸; 6:4 洗脱部分经石油醚-丙酮反复重结晶得到 **3**; 9:1 另一洗脱部分再经硅胶柱层析, 石油醚-乙酸乙酯 7:3 洗脱, 分别用正己烷、氯仿反复重结晶得到 **2** 和 **4**。

化合物 **1**, 无色针晶, $\text{IR}_{\text{max}}^{\text{KBr}} \text{cm}^{-1}$: 3525, 3309 (OH), 2957, 2873, 1653 (C=C), 1459, 1377 [偕二甲基], 1046, 1029, 985, 970, 969, 935, 858 (-O-O-); EIMS m/z : 428 [M^+], 410, 396, 363, 303, 251, 152, 107, 95, 81, 69; ^1H 和 ^{13}C NMR 数据见表 1。

化合物 **2**, 无色针晶, mp 143~145 $^{\circ}\text{C}$, $\text{IR}_{\text{max}}^{\text{KBr}} \text{cm}^{-1}$: 3372 (OH), 2957, 2874, 1650 (C=C), 1465, 1379 [偕二甲基], 1047, 1029, 956, 935, 859 (-O-O-); EIMS m/z : 430 [M^+], 412, 398 (100), 379, 365, 339, 271, 251, 152, 107, 95, 81, 69; ^1H 和 ^{13}C NMR 数据见表 1。

化合物 **3**, 无色结晶, mp 235~237 $^{\circ}\text{C}$, $[\alpha]_D^{22.9} = -69.44^{\circ}$ [c 0.00162, $\text{C}_5\text{H}_5\text{N}$], 文献值 $[\alpha]_D = -10^{\circ}$ (Iorizzi 等, 1988), $\text{IR}_{\text{max}}^{\text{KBr}} \text{cm}^{-1}$: 3441 (OH), 2958, 2871, 1657 (C=C), 1465, 1382 [偕二甲基], 1050, 1031, 969, 940; FAB-MS (间硝基苄醇为载体) m/z : 585 ($M+153$); EIMS m/z : 414 (100), 399, 396, 381, 287, 269, 251, 105, 95, 81, 69; ^1H 和 ^{13}C NMR 数据见表 1。

表 1 化合物 1, 2 和 3 的 ¹H and ¹³C NMR 数据
Table 1 ¹H and ¹³C NMR spectral data for compounds 1, 2 in CDCl₃ and 3 in C₅D₅N

Position	1		2		3	
	C	H	C	H	C	H
1	34.7t		35.8t		32.6t	
2	30.2t		30.2t		33.8t	
3	66.5d	3.94 m	66.5d	3.95 m	67.6d	4.83 m
4	37.0t		39.1t		42.0t	3.03 dd(12.2 , 12.2)
5	82.1s		82.2s		76.1s	
6	135.4d	6.22 d(8.5)	135.4 d	6.22 d(8.5)	74.3 d	4.33 bd(5.1)
7	130.8d	6.48 d(8.5)	130.8 d	6.49 d(8.5)	120.4 d	5.74 bd(5.1)
8	79.4s		79.5s		141.6s	
9	51.2d		51.2d		43.8d	
10	37.0s		37.0s		38.1s	
11	23.4t		23.5t		22.4t	
12	39.4t		39.1t		40.1t	
13	44.6s		44.8s		43.9s	
14	51.7d		51.6d		55.2d	
15	20.6t		20.7t		23.5t	
16	28.6t		28.2t		28.2t	
17	56.3d		56.4d		56.5d	
18	12.9q	0.86 s	12.6q	0.77 s	12.3q	0.63 s
19	18.2q	1.06 s	18.2q	0.89 s	18.8q	1.53 s
20	39.7d		39.5d		37.0d	
21	20.9q	0.97 d(6.6)	18.8q	0.86 d(5.4)	19.3q	0.97 d(6.8)
22	135.2d	5.11 dd(15.3 , 8.0)	33.6t		34.0t	
23	132.4d	5.19 dd(15.1 , 7.5)	30.6t		31.2t	
24	42.8d		39.5d		39.4d	
25	33.1d		31.5d		31.8d	
26	19.9q	0.83 d(5.0)	17.7q	0.75 d(6.8)	17.8q	0.85 d(6.8)
27	19.6q	0.82 d(5.0)	20.5q	0.75 d(6.7)	20.7q	0.79 d(6.8)
28	17.6q	0.89 d(5.3)	15.5q	0.88 d(6.5)	15.7q	0.78 d(6.8)

化合物 4, 无色结晶, EIMS m/z : 430 [M^+ , $C_{28}H_{46}O_3$], 412 [$M-H_2O$]⁺ , 394 [$M-2H_2O$]⁺ , 379 [$M-2H_2O-CH_3$]⁺ , 376 [$M-3H_2O$]⁺ , 305 [$M-C_9H_{17}$]⁺ , 269 [$M-2H_2O-C_9H_{17}$]⁺ , 251 [$M-3H_2O-C_9H_{17}$]⁺ , 107, 95, 81, 69; ¹H NMR (400MHz , CDCl₃) δ : 5.30 (1H , bd , 4.9 , H - 7) , 5.21 (1H , dd , 15.2 , 7.04 , H - 23) , 5.16 (1H , dd , 15.2 , 7.84 , H - 22) , 4.06 (1H , m , H - 3) , 3.60 (1H , bd , 4.9 , H - 6) , 0.57 (3H , s , H₃ - 18) , 1.06 (3H , s , H₃ - 19) , 1.00 (3H , d , 6.64 , H₃ - 21) , 0.89 (3H , d , 6.92 , H₃ - 28) , 0.82 (3H , d , 6.56 , H₃ - 26) , 0.80 (3H , d , 6.52 , H₃ - 27) 。上述波谱数据与文献数据 (Iorizzi 等, 1988 ; Kawagishi 等, 1988) 相吻合。故 4 的结构被推定为已知的 (22E , 24R) - ergosta - 7 , 22 - dien - 3 β , 5 α , 6 α - triol (cerevisterol)。

D - 阿洛醇, 无色针晶, $C_6H_{14}O_6$, [α]_D^{20.7} + 0° (c 0.00360 , H₂O) 为内消旋, 无光学活性的糖醇只有 D - 阿洛醇和 D - 半乳醇 (galactitol) , 其熔点的文献值分别为 150 ~ 151

和 188.5℃ (吴东儒, 1987), 而实测值 154.5~156℃ 与 D-阿洛醇的基本一致。IR $\nu_{\text{max}}^{\text{KBr}}$ cm^{-1} : 3271, 2959, 2936, 1461, 1377, 1351, 1332, 1304, 1092, 1025, 932, 890, 874, 712, 624; ^1H NMR (400MHz, $\text{C}_5\text{D}_5\text{N}$) δ : 4.36 (q, 4H), 4.54 (m, 7H), 4.86 (d, 3H); ^{13}C NMR (400MHz, DMSO- d_6) δ : 73.45 (d, C-3, C-4), 72.33 (d, C-2, C-5), 65.54 (t, C-1, C-6); EIMS m/z (100%): 183 [MH] $^+$ (36.4), 146 (15.2), 133 (70.2), 115 (25.8), 103 (73), 93 (53), 85 (49.5), 74 (84), 73 (100), 61 (88.8)。根据上述波谱数据和理化性质, 该化合物的结构被确定为 D-阿洛醇 (D-allitol)。

硬脂酸, 白色结晶, mp 67~69℃, IR, ^1H 和 ^{13}C NMR, MS 波谱数据都与文献中硬脂酸 (Dupont 等, 1997) 完全一致。

致谢 承蒙纪大干和刘培贵二位研究员的支持和帮助。

参 考 文 献

- 卯晓岚编, 1998. 中国经济真菌 [M]. 北京: 科学出版社, 367
- 吴东儒主编, 1987. 糖类的生物化学 [M]. 上海: 高等教育出版社, 157
- Casteel D A, 1999. Peroxy natural products [J]. *Nat Prod Rep*, **16**, 55-73
- Dupont M P, Llabres G, Delaude C *et al*, 1997. Sterolic and triterpenoidic constituents of stem bark of *Drypetes gossweileri* [J]. *Planta Med*, **63**, 282-284
- Fujimoto H, Nakayama M, Nakayama Y *et al*, 1994. Isolation and characterization of immunosuppressive components of three mushrooms, *Pisolithus tinctorius* [J]. *Microporus flabelliformis* and *Lenzites Betulina*, **42**(3): 694
- Ishizuka T, Yaoita Y, Kikuchi M, 1997. Sterols from the fruit bodies of *Grifola frondosa* [J]. *Chem Pharm Bull*, **45**: 1756~1760
- Iorizzi M, Minale L, Riccio R *et al*, 1988. Polar steroids from the marine Scallop *Patinopecten yessoensis* [J]. *J Nat Prod*, **51**(6): 1098~1103
- Lin C N, Tome W P, Won S J, 1991. Novel cytotoxic principles of Formosan *Ganoderma lucidum* [J]. *J Nat Prod*, **54**(4): 998~1002
- Lu W, Adachi I, Kano K *et al*, 1985. Platelet aggregation potentiators from Cho-Rei [J]. *Chem Pharm Bull*, **33**(11): 5083~5087
- Kahlos K, Kangas L, Hiltunen R *et al*, 1989. Ergosterol peroxide, an active compound from *Inonotus radiatus* [J]. *Planta Med*, **55**(4): 389~390
- Kawagishi H, Katsumi R, Sazawa T *et al*, 1988. Cytotoxic steroids from the mushroom *Agaricus blazei* [J]. *Phytochemistry*, **27**(9): 2777~2779
- Matsueda S and Katsukura Y, 1985. Antitumor-active photochemical oxidation products of provitamin D [J]. *Chem Ind*, 411
- Mizushima Y, Watanabe I, Togashi H *et al*, 1998. An ergosterol peroxide, a natural product that selectively enhances the inhibitory effect of linoleic acid on DNA polymerase β . *Biol Pharm Bull*, **21**(5): 444~448
- Ma W G, Li X C, Wang D Z *et al*, 1994. Ergosterol peroxides from *Cryptoporus volvatus*. *Acta Bot Yunn* (云南植物研究), **16**(2): 196~200
- Madaio A, Piccialli V, Sica D *et al*, 1989. New polyhydroxysterols from the Dictyoceratid sponges *Hippospongia communis*, *Spongia officinalis*, *Ircinia variabilis*, and *Spongionella gracilis* [J]. *J Nat Prod*, **52**(5): 952~961
- Wright J L C, McInnes A G, Shimizu S *et al*, 1978. Identification of C-24 alkyl epimers of marine sterols by ^{13}C NMR spectroscopy [J]. *Can J Chem*, **56**: 1898~1903
- Yasukawa k, Aoki T, Takido M *et al*, 1994. Inhibitory effects of ergosterol isolated from the edible mushroom *Hypsizygus marmoreus* on TPA-induced inflammatory ear oedema and tumor promotion in mice [J]. *Phytother Res*, **8**: 10~13